

## 云和雨的相干散射与雷达气象方程\*

李 其 琛

(北京大学地球物理系)

### 提 要

研究了云雨质点对雷达波的相干散射,从而推得比较普遍的雷达气象方程。旧的雷达气象方程是新年程在云雨质点互相独立时的特殊表现形式。对新方程作了一些讨论,发现旧方程之所以在某些方面与实验不符,可能是因为忽略了相干散射作用的缘故。

### 一、前 言

雷达是近代气象学的重要工具之一,它在降水天气系统的观测、云雾物理研究等方面正起着越来越重要的作用。雷达气象学目前已发展成了近代气象学中的一个独立学科。

雷达气象方程是雷达气象学的理论基础,它将云雾降水的物理特性与雷达回波的程度联系起来,使我们有可能通过回波的测定而推知云雾降水的物理特性。

目前广泛应用的雷达气象方程取下列形式<sup>[1]</sup>:

$$\bar{P}_r = \frac{P_t A_p^2 \cdot \theta \cdot \Phi \cdot \tau \cdot c}{72 \lambda^2 R^2} \sigma \bar{n}, \quad (1)$$

式中  $\bar{P}_r$  是回波的平均功率,  $P_t$ ,  $A_p$ ,  $\lambda$ ,  $\theta$ ,  $\Phi$ ,  $\tau$ ,  $c$  分别是雷达的发射功率、天线截面、发射波长、垂直张角、水平张角、脉冲持续时间、光速,  $\sigma$  和  $\bar{n}$  分别是散射质点的雷达截面和平均数密度,  $R$  是构成回波  $\bar{P}_r$  的散射质点离雷达的平均距离。

本文要研究的是  $\bar{P}_r$  与散射质点数的关系。为方便起见,将(1)式简写为:

$$\bar{P}_r = C \cdot \sigma \cdot N, \quad (1')$$

式中  $C$  是由雷达参数以及距离  $R$  决定的系数,  $N$  是构成回波  $\bar{P}_r$  的散射质点总数。

推导方程(1)时,有一个很重要的假设<sup>[2]</sup>,即认为散射质点是互相独立的,它们发出的散射波没有固定的相角关系,不互相干涉。所以方程(1)只有在独立散射(或称不相干散射)的条件得到满足时,才能准确成立。

因为方程(1)非常重要,所以曾有不少工作者试图通过实验来验证它的正确性。达到这个目的途径之一是在同一个时刻直接对回波功率、雷达参数以及雨滴谱作准确测量,这样就可以验证(1)式是否准确成立。目前,在这方面还没有得到令人满意的结果,主要困难是在于很难在测定回波的同时,直接测出构成回波的那块云雨的滴谱。检验方程(1)的另一途径是同时用几种波长的雷达作测量,由(1')可知比值  $\frac{C(\lambda_1)}{C(\lambda_2)} \times \frac{\sigma(\lambda_1)}{\sigma(\lambda_2)}$  代表了  $\frac{\bar{P}_r(\lambda_1)}{\bar{P}_r(\lambda_2)}$  的理论值,它可以准确决定,而  $\frac{\bar{P}_r(\lambda_1)}{\bar{P}_r(\lambda_2)}$  又可以通过实验测定,将二者进行比较就能够检验

\* 本文 1962 年 1 月 15 日收到。

方程(1)正确与否,这个方法是更现实可行的。

根据后一种想法, J. E. N. 霍泊 (Hooper) 和 A. A. 基帕赫 (Kippax)<sup>[3]</sup> 用三种波长的雷达做观测实验,得到的结果如下:

	$\lambda_1 = 9.1$ 厘米 $\lambda_2 = 3.2$ 厘米	$\lambda_1 = 9.1$ 厘米 $\lambda_2 = 1.25$ 厘米
$\bar{P}_r(\lambda_1)/\bar{P}_r(\lambda_2)$ 理论值	- 6.4 db	- 3.4 db
$\bar{P}_r(\lambda_1)/\bar{P}_r(\lambda_2)$ 观测值	- 6.0 — - 6.3 db	- 2.3 — - 2.5 db

实验表明:  $\bar{P}_r$  随  $\lambda$  的递减而增大的速度,比按方程(1)计算的为小。H. 戈尔德斯坦 (Goldstein)<sup>[2]</sup> 也曾指出同样的事实。值得注意的是这个矛盾不可能解释为  $\frac{\sigma(\lambda_1)}{\sigma(\lambda_2)}$  的计算中没有考虑到可能存在的 Mie 散射效应,事实上若在计算中作了 Mie 效应的订正<sup>[3]</sup>,则理论值与实测值的差异将更大。所以,这个矛盾只能解释为方程(1)不够准确。

另一方面, A. 尼尔宋 (Nelson) 在雨滴谱的测量中发现<sup>[4]</sup>, 雨滴在空间上的分布并不是独立质点的泊松分布。他发现,雨滴具有聚合成群的特性,群的容积小于 1 公升(因受仪器分辨能力的限制,未能肯定比 1 公升小多少),每群平均有几个雨滴,群与群间为较大的空隙所分开。A. 尼尔宋认为雨云之所以是这种结构,可能是由于雨滴增长和破碎、湍流运动以及雨滴荷电等效应。这个观测事实是很重要的,成群的雨滴相互间必定具有一定联系,它们不可能是完全互相独立的。从云的情况来看也是这样,在云雾微结构的观测中很容易发现<sup>[5]</sup>,云是一种类似于湍流统计理论所描述的那种湍块结构,这可能是由云中必然存在的湍流涡动所引起的。同一湍块内的云滴也必定具有一定的联系。由此可见,推导雷达方程(1)时所作的散射质点互相独立的假设,可能与云雨的实际情况不尽相符,因而使方程(1)不能准确成立。

本文的目的就是试图考虑散射质点之间的关联,估计相干散射的作用,在这基础上推导比较普遍的雷达气象方程。

## 二、雨滴的相干散射

解决这个问题时,先以尼尔宋得到的关于阵雨微结构的观测事实为依据,合理地概括雨云的特性而得出如下模型: 1. 半个脉冲所占空间中的  $N$  个雨滴分成  $m$  群 ( $m \gg 1$ ), 其中第  $l$  个群的尺度为  $a_l$ , 该群内有  $n_l$  个雨滴; 显然  $\sum_{l=1}^m n_l = N$ ; 2. 各雨滴群彼此独立, 群在空间中作无规分布; 3. 同一群中的雨滴具有相同的统计特性; 4. 全部雨滴具有相同的半径(计算中取它们的中值); 5. 雨滴坐标的变化是平稳随机过程。

$N$  个雨滴在天线处构成的合成电场应为:

$$E = \sum_{i=1}^N E_i = \frac{p}{\sqrt{4\pi}} \frac{E_0(R)}{R} e^{i\omega r} \sum_{i=1}^N e^{-\frac{4\pi}{\lambda} R_i}$$

而回波平均功率  $\bar{P}_r$  应为

$$\begin{aligned}\bar{p}_r &= \frac{c}{4\pi} \langle EE^* \rangle = C\sigma \left\langle \sum_{i=1}^N \sum_{j=1}^N e^{-\frac{4\pi}{\lambda}(R_i - R_j)} \right\rangle \\ &= C' \left[ N + \left\langle \sum_{i=1}^N \sum_{\substack{j=1 \\ j \neq i}}^N e^{-ig(R_i - R_j)} \right\rangle \right],\end{aligned}\quad (2)$$

式中  $\langle \rangle$  号代表平均, \*号代表共轭复数,  $g = \frac{4\pi}{\lambda}$ .

事实上方程(2)中的前一项代表了独立散射,而后一项代表了相干散射. 因为质点互相独立时,  $R_i - R_j$  取各种值的几率相等,后一项应为零.

下面计算相干散射项. 我们将属于同一羣的“质点对”的贡献和分属不同羣的“质点对”的贡献分开,于是就有:

$$\begin{aligned}\left\langle \sum_{i=1}^N \sum_{\substack{j=1 \\ j \neq i}}^N e^{-ig(R_i - R_j)} \right\rangle &= \sum_{i=1}^m \left\langle \sum_{\substack{j=1 \\ j \neq i}}^{n_i} e^{-ig(R_i - R_j)} \right\rangle \\ &= \sum_{l=1}^m \sum_{p=1}^{n_l} \left[ \left\langle \sum_{\substack{s=1 \\ s \neq p}}^{n_l} e^{-ig(R_{l,p} - R_{l,s})} \right\rangle + \left\langle \sum_{\substack{k=1 \\ k \neq l}}^m \sum_{s=1}^{n_k} e^{-ig(R_{l,p} - R_{k,s})} \right\rangle \right],\end{aligned}\quad (3)$$

式中  $R_{l,p}$ ,  $R_{k,s}$  等符号中的前一个下角是羣的序数,而后一个下角是雨滴在羣中的序数.

(3) 式中 [ ] 号内的第二项代表了分属不同羣的“质点对”的贡献 ( $k \neq l$ ). 这一项应该等于零,因为各个羣是互相独立的,它们在空间中作无规则分布,  $(R_{l,p} - R_{k,s})_{l \neq k}$  取各种值的几率相等. 因此,问题只在于计算(3)式中前一项所代表的属于同一羣的“质点对”的贡献.

以函数  $W_l(y)$  代表随机变量  $R_{l,p} - R_{l,s} = (\Delta_l R)_{p,s}$  的分布密度. 考虑到同一羣内各质点的统计特性相同,就有:

$$\begin{aligned}\left\langle \sum_{\substack{s=1 \\ s \neq p}}^{n_l} e^{-ig(R_{l,p} - R_{l,s})} \right\rangle &= \sum_{\substack{s=1 \\ s \neq p}}^{n_l} \langle e^{-ig(\Delta_l R)_{p,s}} \rangle \\ &= (n_l - 1) \int_{-\infty}^{\infty} e^{-igy} W_l(y) dy.\end{aligned}\quad (4)$$

为将(4)式算出,需要知道分布密度  $W_l(y)$  的表达式. 为此,我们考虑两种可能的情况: 1) 羣是圆柱形,其半径为  $a$ ; 2) 羣是球形,其半径为  $a$ . 无论羣取什么形状,都可以认为雨滴在羣内各点出现的几率处处相等. 和这两种情况相应的分布密度  $W_l(y)$  分别用符号  $W_l^{(1)}(y)$  和  $W_l^{(2)}(y)$  来表示.

## 1. 圆柱形的羣

以函数  $\eta_l^{(1)}(R - \bar{R}_l)$  代表雨滴坐标取值  $R$  的分布密度,此处用  $\bar{R}_l$  表示羣的中心的坐标(见图 1),显然,

$$\begin{cases} \eta_l^{(1)}(R - \bar{R}_l) = \frac{1}{\pi a_l^2} \cdot \frac{dS(R)}{dR} \\ \quad = \frac{2}{\pi a_l^2} \sqrt{a_l^2 - (R - \bar{R}_l)^2}, \quad \text{当 } |R - \bar{R}_l| \leq a \text{ 时;} \\ \eta_l^{(1)}(R - \bar{R}_l) = 0, \quad \text{当 } |R - \bar{R}_l| > a \text{ 时.} \end{cases}\quad (5)$$

由概率論<sup>[6]</sup>可知,随机变数之差  $\Delta R$  的分布密度与随机变数  $R$  的分布密度  $\eta(R - \bar{R}_l)$  之間有如下的关系(卷积公式):

$$W_l^{(1)}(y) = \int_{-\infty}^{+\infty} \eta_l^{(1)}(z) \eta_l^{(1)}(z + y) dz. \quad (6)$$

以(6)式代入(5)式,当  $2a_l \geq y \geq 0$  时,有

$$W_l^{(1)}(y) = \left(\frac{2}{\pi a_l^2}\right)^2 a_l^3 \int_{-1}^{1-y/a_l} [1-u^2]^{\frac{1}{2}} \left[1 - \left(u + \frac{y}{a_l}\right)^2\right]^{\frac{1}{2}} du; \quad (7a)$$

当  $-2a_l \leq y \leq 0$  时,有

$$W_l^{(1)}(y) = \left(\frac{2}{\pi a_l^2}\right)^2 a_l^3 \int_{-1}^{1-\frac{-y}{a_l}} [1-u^2]^{\frac{1}{2}} \times \left[1 - \left(u + \frac{-y}{a_l}\right)^2\right]^{\frac{1}{2}} du; \quad (7b)$$

当  $|y| > 2a_l$  时,

$$W_l^{(1)}(y) = 0. \quad (7c)$$

綜合(7a), (7b), (7c) 可得到

$$W_l^{(1)}(y) = W_l^{(1)}(-y) = \frac{4}{\pi^2 a_l} \int_{-1}^{1-\frac{|y|}{a_l}} [1-u^2]^{\frac{1}{2}} \left[1 - \left(u + \left|\frac{y}{a_l}\right|\right)^2\right]^{\frac{1}{2}} du, \quad |y| \leq 2a_l, \quad (8a)$$

$$W_l^{(1)}(y) = 0, \quad |y| > 2a_l. \quad (8b)$$

将被积函数作幂級数展开,即可将(8a)中的积分算出,結果如下:

$$\begin{cases} W_l^{(1)}(y) = \frac{4}{\pi^2 a_l} P^{(1)}\left(\left|\frac{y}{a_l}\right|\right), & |y| \leq 2a_l; \\ W_l^{(1)}(y) = 0, & |y| > 2a_l; \end{cases} \quad (9a)$$

$$\quad (9b)$$

式中  $P^{(1)}\left(\left|\frac{y}{a_l}\right|\right)$  是无穷幂級数  $P^{(1)}\left(\left|\frac{y}{a_l}\right|\right) = \sum_{n=0}^{\infty} c_n \left|\frac{y}{a_l}\right|^n$ ,

$$c_0 = \frac{4}{3}, \quad c_1 = 0, \quad c_2 = \frac{-23}{15}, \quad c_3 = \frac{4}{3}, \quad c_4 = -\frac{5}{6}, \quad c_5 = \frac{5}{12},$$

$$c_6 = -\frac{1}{8}, \quad c_7 = \frac{1}{60}, \quad c_8 = \dots$$

$W_l^{(1)}(y)$  的特性如图 2 所示,在下面的計算中,我們將用图中虛綫所示的綫性函数来代替无穷幂級数,即

$$\begin{cases} W_l^{(1)}(y) = \frac{1}{a_l} \times 0.6 \times \left(1 - \frac{1}{1.7} \left|\frac{y}{a_l}\right|\right), & \text{当 } |y| \leq 1.7; \\ W_l^{(1)}(y) = 0, & \text{当 } |y| > 1.7. \end{cases} \quad (9a')$$

$$\quad (9b')$$

由图显見,这样取近似造成誤差不大.

## 2. 球 状 的 羣

以函数  $\eta_l^{(2)}(R - \bar{R}_l)$  代表雨滴坐标取值  $R$  的分布密度,显然:

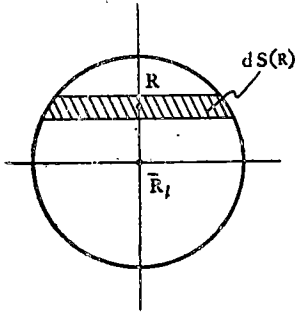


图 1

$$\left\{ \begin{aligned} \eta_l^{(2)}(R - \bar{R}_l) &= \frac{1}{\frac{4}{3} \pi a_l^3} \cdot \frac{dV(R)}{dR} = \frac{3}{4a_l^3} [a_l^2 - (R - R_l)^2], \quad \text{当 } |R - \bar{R}_l| \leq a; \\ \eta_l^{(2)}(R - \bar{R}_l) &= 0, \quad \text{当 } |R - \bar{R}_l| > a. \end{aligned} \right.$$

利用和上段类似的方法, 可以求得  $W_l^{(2)}(y)$ , 结果如下:

$$\left\{ \begin{aligned} W_l^{(2)}(y) &= \left(\frac{3}{4}\right)^2 \frac{1}{a} p^{(2)}\left(\left|\frac{y}{a_l}\right|\right), \quad \text{当 } |y| \leq 2a; \\ W_l^{(2)}(y) &= 0, \quad \text{当 } |y| > 2a; \end{aligned} \right. \quad (10a)$$

$$W_l^{(2)}(y) = 0, \quad \text{当 } |y| > 2a; \quad (10b)$$

式中  $p^{(2)}\left(\left|\frac{y}{a_l}\right|\right) = \sum_{n=0}^3 c'_n \left|\frac{y}{a_l}\right|^n$ ,  $c'_0 = \frac{16}{15}$ ,  $c'_1 = 0$ ,  $c'_2 = \frac{4}{3}$ ,  $c'_3 = \frac{2}{3}$ ,  $c'_4 = 0$ ,  $c'_5 = -\frac{1}{30}$ .  $W_l^{(2)}(y)$  的特性如图 3 所示, 我們也可以用綫性函数来近似它:

$$\left\{ \begin{aligned} W_l^{(2)}(y) &= \frac{1}{a_l} \times 0.675 \left(1 - \frac{1}{1.5} \left|\frac{y}{a_l}\right|\right), \quad \text{当 } |y| \leq 1.5; \\ W_l^{(2)}(y) &= 0, \quad \text{当 } |y| > 1.5. \end{aligned} \right. \quad (10a')$$

$$W_l^{(2)}(y) = 0, \quad \text{当 } |y| > 1.5. \quad (10b')$$

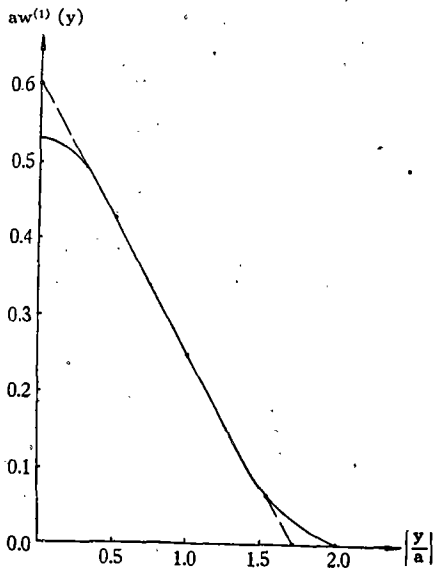


图 2

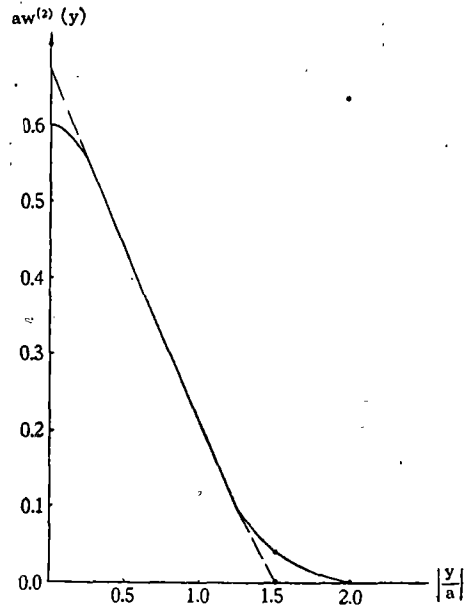


图 3

分別將(9'), (10')式代入(4)式, 并将积分算出, 再代入(3)式即可得到相干散射項的表达式:

$$\left\langle \sum_{i=1}^N \sum_{\substack{j=1 \\ j \neq i}}^N e^{-ig(R_i - R_j)} \right\rangle = \sum_{l=1}^m \sum_{p=1}^{n_l} (n_l - 1) f(h_l) = \sum_{l=1}^m n_l (n_l - 1) f(h_l), \quad (11)$$

式中

$$h_l = 4\pi \frac{a_l}{\lambda}, \quad f(h) = \begin{cases} f^{(1)}(h) = 0.706 \times (1 - \cos 1.7h) \frac{1}{h^2}, & \text{柱狀的羣,} \\ f^{(2)}(h) = 0.900 \times (1 - \cos 1.5h) \frac{1}{h^2}, & \text{球狀的羣.} \end{cases} \quad (12)$$

(11)式可以写成  $m \overline{n_i(n_i - 1)f(h_i)}$ , 一号代表对  $m$  个羣求平均. 考虑到  $m \gg 1$ , 所以这个平均值可以用  $n(n - 1)f(h)$  的数学期望来代替它, 即

$$\overline{n_i(n_i - 1)\delta(h_i)} = \int_{h_{\min}}^{h_{\max}} \int_0^{n_{\max}} n(n - 1)f(h)W(h, n)dn dh = \overline{n(n - 1)f(h)}, \quad (13)$$

式中  $W(n, h)$  是羣內的质点数和羣的  $h = \frac{4\pi a}{\lambda}$  值的联合分布密度.

最后, 将(11), (12)式代入(2)式, 就得到考虑了相干散射作用的雷达气象方程:

$$\bar{p}_r = C\sigma[N + m \overline{n(n - 1)f(h)}]. \quad (14)$$

在这个新的雷达气象方程中, [ ] 号內的第一項代表了独立散射, 第二項代表了相干散射. 由(13)式可知, 相干散射給雷达天綫提供了附加的回波, 并且回波的强度  $\bar{p}_r$  不单和散射质点总数有关, 它还和质点分組成怎样的羣有关. 下面我們对这个新方程进行一些討論.

1. 相干散射項正比于  $m \overline{n(n - 1)f(h)}$ , 各羣中的雨滴数  $n_l$  越大时, 它的数值越大. 当  $n_l = 1 (l = 1, \dots, m)$ , 即每羣只由一个质点組成时, 它自动消失, 方程(14)还原为方程(2), 意味着相干散射不存在. 这結果是合理的, 因为前面已設各个羣相互独立, 所以  $n_l = 1, (l = 1, \dots, m)$ , 就意味着  $N$  个质点都互相独立, 这正是推导旧雷达气象方程时所用的条件. 在这个条件下, 相干散射不存在, 方程(14)自然应取旧方程(2)的形式.

2. 相干散射項的大小及其变化規律: 相干散射作用的大小取決的羣的总数  $m$  和羣的特性联合分布密度  $W(n, \frac{4\pi a}{\lambda})$ . 因目前还缺乏关于  $W(n, \frac{4\pi a}{\lambda})$  的詳細觀測資料, 为估計

相干散射作用的大小, 我們暂时設所有的羣都有同样的半径  $a$  和含有同样数目的雨滴( $n$ 个), 于是  $m \overline{n(n - 1)f(h)} = N(n - 1)f(h)$ . 按(12)式計算的函数  $f(h)$  的值如图4所示, 而对应于各个波长值  $\lambda$  和羣的半径值  $a$  的  $h = \frac{4\pi a}{\lambda}$  值如下表所示.

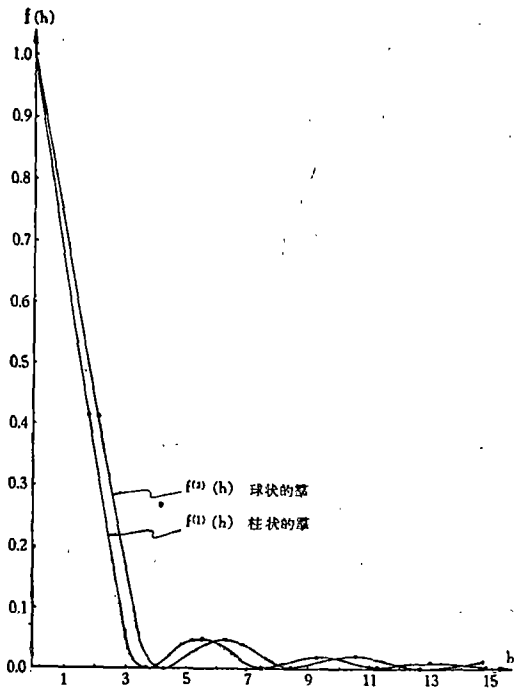


图 4

$a$	$h$	$\lambda$ (厘米)			
		10	5	3	1
(厘米)	1	1.3	2.6	4.4	13
	2	2.6	5.2	8.7	26
	3	3.9	7.8	13.0	39
	5	6.5	13.0	21.7	65
	10	13.0	26.0	43.3	130

由图4看出,  $f(h)$  大致随  $h$  值的减小而递增, 球狀的羣 [ $f^{(2)}(h)$ ] 和柱狀的羣 [ $f^{(1)}(h)$ ] 构成的相干散射性質相近. 以  $\alpha$

代表相干散射与独立散射的比值, 则  $\alpha = (n-1)f(h)$ . 当  $h < 7$ ,  $n = 6$  时,  $\alpha$  一般大于 25%, 当羣小时, 它甚至可以超过 100% (例如  $n = 6$ ,  $a = 0.75$  厘米,  $\lambda = 3.2$ , 或  $n = 6$ ,  $a = 2.75$  厘米,  $\lambda = 10$  时, 均有  $\alpha = 1$ ). 根据尼尔采的观测,  $n$  为几个,  $a$  的量级为厘米, 这表明对于实际的雨云来说相干散射项和独立散射项是能够相比拟的. 当羣较大, 波长较短时,  $h$  值较大, 这时候相干散射不重要. 因此, 相干散射只是由厘米量级的羣构成的. 另外, 由图看出, 相干散射项的数值是有振动的, 振动的幅度随  $h$  值的增大而减小, 它和光的小孔衍射图案相似. 这结果也是合理的, 因为这两种物理过程的本质本来是一样的, 它们都是波的干涉. 在实际的雨云中, 羣的半径和质点数是有一个分布  $W(n, h)$  的, 因此振动的效应将被平均掉.

3. 因为  $f\left(\frac{4\pi a}{\lambda}\right)$  是和波长有关的, 因此, 按(14)式, 有:

$$\begin{aligned} \frac{\bar{p}_r(\lambda_1)}{\bar{p}_r(\lambda_2)} &= \frac{C(\lambda_1)}{C(\lambda_2)} \times \frac{\sigma(\lambda_1)}{\sigma(\lambda_2)} \times \frac{1 + f\left(\frac{4\pi a}{\lambda_1}\right)(n-1)}{1 + f\left(\frac{4\pi a}{\lambda_2}\right)(n-1)} \\ &= \frac{C(\lambda_1)}{C(\lambda_2)} \times \frac{\sigma(\lambda_1)}{\sigma(\lambda_2)} \times \frac{1 + \alpha(\lambda_1)}{1 + \alpha(\lambda_2)}. \end{aligned} \quad (15)$$

和按旧雷达方程(1')计算的结果相比较, 现在多了一个因子  $\frac{1 + \alpha(\lambda_1)}{1 + \alpha(\lambda_2)}$ . 当相干散射作用能够和独立散射作用相比拟时, 这个因子是不能略去的. 若  $\lambda_1 > \lambda_2$ , 则  $\frac{\sigma(\lambda_1)}{\sigma(\lambda_2)} < 1$ , 但  $\frac{1 + \alpha(\lambda_1)}{1 + \alpha(\lambda_2)} > 1$ , 这正好解释了前言中指出的旧雷达方程的推论与观测事实之间的矛盾. 根据尼尔采的观测资料, 取  $n = 6$ ,  $a = 5$ , 则当  $\lambda_2 = 1.25$  厘米,  $\lambda_1 = 9.2$  厘米时,  $\frac{1 + \alpha(\lambda_1)}{1 + \alpha(\lambda_2)} = 1$  db, 按(15)式计算的理论值就和观测值完全吻合, 这间接证明了现在推得的包含了相干散射的雷达方程(14)的正确性.

### 三、云滴对雷达波的散射

云滴的数密度比雨滴大得多, 它不象雨滴那样分成孤立的羣, 所以上节所讲的雨云的模型此处不能应用. 合理的处理方法是把云看作是具有“湍块”结构的连续介质 (这里指的是湍流统计理论意义上的湍块). 我们就在这个基础上来处理云对雷达波的散射问题. 当雨滴比较弥散, 羣的结构不十分显著时, 也该用本节所讲的方法来处理. 所以本节讨论的方法是比較有普遍意义的.

用向量  $\mathbf{R}$  代表空间坐标,  $\mathbf{K}$  代表发射波的波矢量, 半个脉冲所占空间  $V$  内的全部质点在接收天线处构成的总散射波电场应为:

$$E = \frac{1}{\sqrt{4\pi}} \iiint_V \frac{E_0(\mathbf{R})}{R} e^{+i(\omega t - \mathbf{K} \cdot \mathbf{R})} \cdot \beta(\mathbf{R}) d\mathbf{R}, \quad (16)$$

式中的  $\beta$  代表单位体积内的云滴构成散射波电场的能力. 若用函数  $n(r)$  代表云滴谱, 用  $n = \int_0^\infty n(r) dr$  代表单位体积内的云滴总数, 则

$$\beta = \int_0^{\infty} p(r)n(r)dr = p(\bar{r})n, \quad \bar{r} \text{ 是中值.} \quad (17)$$

由于云的湍块结构, 质点的数密度  $n$  和平均半径  $\bar{r}$  都有起伏, 所以,  $\beta$  是时间和空间上的随机函数, 它有无规的涨落起伏, 因此可以表示为:

$$\beta(\mathbf{R}, t) = \bar{\beta} + \Delta\beta(\mathbf{R}, t), \quad (18)$$

式中的  $\Delta\beta(\mathbf{R}, t)$  也是时间空间上的随机变量。因为雷达测量涉及的时间和空间都不太大, 所以我们可以设随机变量场  $\Delta\beta(\mathbf{R}, t)$  在空间上是均匀各向同性的, 在时间上是平稳的。

将(18)式代入(16)式并计算回波平均功率  $\bar{p}_r$ , 就有

$$\begin{aligned} \bar{p}_r = \frac{C}{4\pi} \langle EE^* \rangle = C \left\{ \bar{\beta} \left| \iiint_V e^{-i2\mathbf{K}\cdot\mathbf{R}} d\mathbf{R} \right|^2 \right. \\ + \left[ \left( \bar{\beta} \iiint_V \langle \Delta\beta(\mathbf{R}, t) \rangle e^{-i2\mathbf{K}\cdot\mathbf{R}} d\mathbf{R} \right) \iiint_V e^{+i2\mathbf{K}\cdot\mathbf{R}'} d\mathbf{R}' \right] \\ + \left[ \left( \bar{\beta} \iiint_V \langle \Delta\beta(\mathbf{R}', t) \rangle e^{+i2\mathbf{K}'\cdot\mathbf{R}'} d\mathbf{R}' \right) \iiint_V e^{-i2\mathbf{K}\cdot\mathbf{R}} d\mathbf{R} \right] \\ \left. + \left[ \iiint_V d\mathbf{R} \iiint_V \langle \Delta\beta(\mathbf{R}, t) \Delta\beta(\mathbf{R}', t) \rangle e^{i2(\mathbf{K}'\cdot\mathbf{R}' - \mathbf{K}\cdot\mathbf{R})} d\mathbf{R}' \right] \right\}. \quad (19) \end{aligned}$$

(19)式中的第一项已由 A. J. F. 西吉尔特 (Siegert) 和 H. 戈尔德斯廷<sup>[2]</sup> 计算过, 证明它可以忽略。第二项和第三项因为  $\langle \Delta\beta(\mathbf{R}, t) \rangle = 0$ , 所以它们都等于零, 仅余下末一项。这一项中积分号下所含的  $\Delta\beta(\mathbf{R}, t)$  的协方差可用相关函数  $C(\mathbf{R} - \mathbf{R}')$  表示:

$$\langle \Delta\beta(\mathbf{R}, t) \Delta\beta(\mathbf{R}', t) \rangle = \langle (\Delta\beta)^2 \rangle C(\mathbf{R} - \mathbf{R}'). \quad (20)$$

将(20)式代入(19)式, 引进新变数  $\rho = \mathbf{R}' - \mathbf{R}$ , 考虑到相关函数  $C(\rho)$  只在  $\rho$  值很小时才显著异于零, 因此可取近似  $\mathbf{K}' = \mathbf{K}$ ,  $\iiint_V [\dots] d\rho = \iiint_{\infty} [\dots] d\rho$ , 于是(19)式就变为:

$$\bar{p}_r = C \langle (\Delta\beta)^2 \rangle \iiint_V d\mathbf{R} \iiint_{\infty} e^{i2\mathbf{k}\cdot\rho} C(\rho) d\rho. \quad (21)$$

根据湍流统计理论, 相关函数的富氏逆变换就是谱密度  $\Phi(\mathbf{k})$ <sup>[7]</sup>,

$$\Phi(\mathbf{k}) = \iiint_{\infty} e^{i\mathbf{k}\cdot\rho} C(\rho) d\rho. \quad (22)$$

所以(21)式变为:

$$\begin{aligned} \bar{p}_r &= C \langle (\Delta\beta)^2 \rangle \iiint d\mathbf{R} \cdot \Phi(2\mathbf{k}) \\ &= C' V \cdot \langle (\Delta\beta)^2 \rangle \Phi(k) \Big|_{k=\frac{4\pi}{\lambda}}. \quad (23) \end{aligned}$$

这是适用于具有湍块结构的云(或雨)的雷达气象方程。由(23)式直接看出:

$$\bar{p}_r \propto \langle (\Delta\beta)^2 \rangle = \langle (np'(\bar{r})\Delta\bar{r} + p(\bar{r})\Delta n)^2 \rangle$$

即  $\bar{r}$  和  $n$  的数值以及它们的起伏越大, 则回波越强。另外,

$$\bar{p}_r \propto \Phi(k) \Big|_{k=\frac{4\pi}{\lambda}}$$

就是说回波平均功率正比于波数为  $\frac{4\pi}{\lambda}$ , 尺度为  $\frac{\lambda}{2}$  的那种湍块的谱密度。这里得到的结



果也和光学中的小孔衍射相似。附尺度为波长之半的湍块外, 其他湍块都对  $\bar{p}_r$  没有贡献。

下面我们再对方程(23)进行一些讨论。

1. 若象推导旧雷达方程(1)时假设的那样, 认为质点互相独立, 并且是匀谱。这时相关函数就是  $\delta$  函数,  $C(\rho) = \delta(\rho)$ , 由(22)式  $\Phi(\mathbf{k}) = 1$ , 另一方面<sup>[8]</sup>  $\langle(\Delta\beta)^2\rangle = \langle(\Delta n)^2\rangle$   $|p|^2 = n|p|^2$ , 方程(23)就还原为(2)式, 由此可见(23)式较(2)式为普遍。

2. 在推导方程(23)的过程中, 我们并没有对相关函数  $C(\rho)$  和谱密度  $\Phi(\mathbf{k})$  的形式作任何规定; 因此它适用于任意的湍流场。我们证明了  $\bar{p}_r$  正比于  $\Phi\left(\frac{4\pi}{\lambda}\right)$ , 云中的湍流谱  $\Phi(\mathbf{k})$  到底是什么样的形式, 目前似乎还没有人研究过。至于在自由大气中则已有下列四种形式被引用过<sup>[9]</sup>。

名 称	貝 色 尔	指 数	高 斯	勾 摩
$C(\rho)$	$\frac{\rho}{\rho_0} k_1 \left(\frac{\rho}{\rho_0}\right)$	$e^{-\rho/\rho_0}$	$e^{-(\rho/\rho_0)^2}$	$\frac{1}{[1 + (\rho/\rho_0)^2]^2}$
$\Phi(k)$	$\frac{6\pi^2\rho_0^3}{[1 + k^2\rho_0^2]^{5/2}}$	$\frac{8\pi^2\rho_0^3}{[1 + k^2\rho_0^2]^3}$	$\frac{\pi^2\rho_0^3}{k^2\rho_0^2} e^{-\frac{k^2\rho_0^2}{4}}$	$\frac{\pi^2\rho_0^3}{e k^2\rho_0}$

各式中的  $\rho_0$  是湍块的平均尺度(或称尺度长), 云中湍流可否应用上表中之某一种形式的谱密度尚待研究。

3. 方程(23)表明, 波长的因子不只包含在  $C, P_A(\bar{\gamma})$  中, 而且也包含在  $\Phi\left(\frac{4\pi}{\lambda}\right)$  中。根据这个结果, 我们或许有可能用不同波长的雷达同时测量, 从而推断云中的湍流情况。

#### 四、结 论

1. 当云雨质点结合成较小尺度的羣或湍块时, 相干散射作用不容忽视, 这时, 雷达气象方程应取下列形式:

$$\text{雨: } \bar{p}_r = \frac{P_t A_p^2 \theta \cdot \Phi \cdot \tau \cdot c}{72\lambda^2 R^2} \cdot \sigma \cdot \bar{n} \left[ 1 + \frac{m}{N} \frac{1}{n(n-1)} f\left(\frac{4\pi a}{\lambda}\right) \right], \quad (24)$$

其中  $\bar{n}$  是雨滴的平均数密度, 其他符号如文中所述;

$$\text{云: } \bar{p}_r = \frac{P_t A_p^2 \theta \cdot \Phi \cdot \tau \cdot c}{72\lambda^2 R^2} \cdot \langle(\Delta\beta)^2\rangle \Phi\left(\frac{4\pi}{\lambda}\right). \quad (25)$$

形如(25)式的雷达气象方程原则上也适用于雨, 且可能比(24)式准确, 但不及(24)式应用起来方便。

当雷达波通过时, 若受到的削弱散射作用不能忽略, 则(24), (25)式还要乘上一个因子  $F(\lambda, R)$ 。

2. 为了提高雷达测量的精确度, 有必要进一步掌握云雨微结构的某些规律, 例如羣和湍块的特性等。

致謝：本文承赵九章、謝义炳、顧震潮教授指正，作者謹致深切謝意。赵柏林先生會給予作者許多指导和帮助，作者借此机会也对他表示衷心的感謝。

### 参 考 文 献

- [1] Battan, L. J., Radar Meteorology. The University of Chicago Press 1959. Chap. 4.
- [2] Kerr, D. E., Propagation of Short Radio Waves McGraw-Hill Book Company, 1951. Chap. 7; Appendix. B.
- [3] Hooper, J. E. N., & Kippax, A. A., *Proceeding of I. E. E.* pt. I. Vol. 97 (1950), pp. 89—94.
- [4] Nelson, A., *Proceeding of Eighth Weather Radar Conference*, 1960. pp. 99—106.
- [5] Левин Л. М., Исследования по физике грубодисперсных аэрозолей. Москва Изд. АН СССР, 1961.
- [6] Б. В. 格涅坚科, 概率論教程. 高等教育出版社, 1956, § 23.
- [7] Татарский, В. И., Теория Флутуационных Явлений При Распространении Волн в Турбулентной Атмосфере. Изд. АН СССР, 1959, Глава 1.
- [8] М. В. 伏尔坚斯坦, 分子光学, 上册, 高等教育出版社, 1958, 第五章.
- [9] Wheelon, A., *Journal of Nat. Bureau of standard* Vol. 63 D. No. 2 (1959).

## RADAR EQUATION CONSIDERING THE COHERENT SCATTERING OF RADAR WAVES FROM CLOUD AND RAIN DROPS

LEE CHI-CHEN

(Department of Geophysics, Peking University)

### ABSTRACT

Attention has been paid to the fact that grouping association between particles exists in clouds as well as in rain. Coherent scattering of radar waves from cloud and rain drops dependent to each other has been evaluated and a new radar equation derived. The new equation involves the old one as its special form in the case of incoherent scattering. It is found that the effect of coherent scattering in some cases is not quite small and should not be neglected.